

# **Modélisation et commande de robots mobiles non-holomomes**

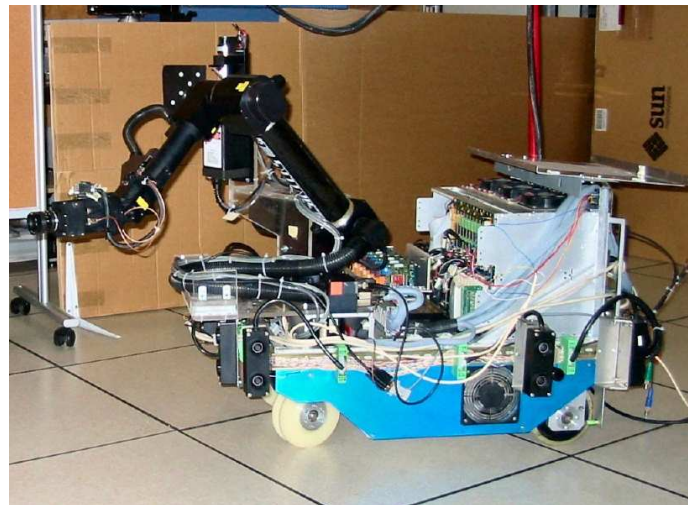
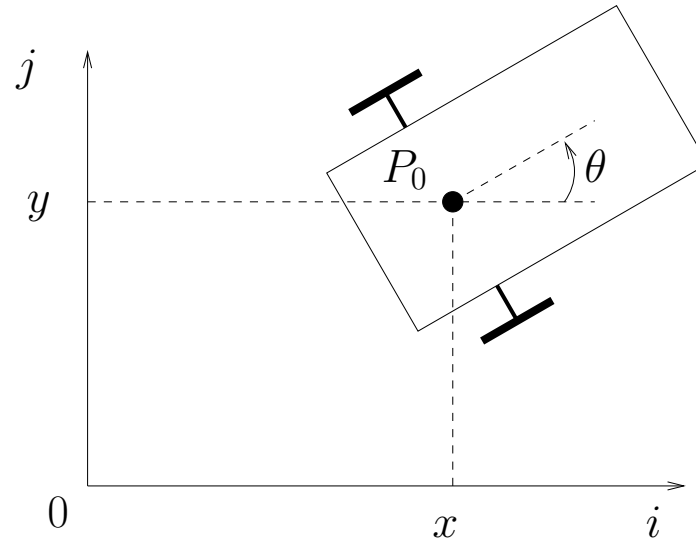
P. MORIN

ISIR

Sorbonne Université

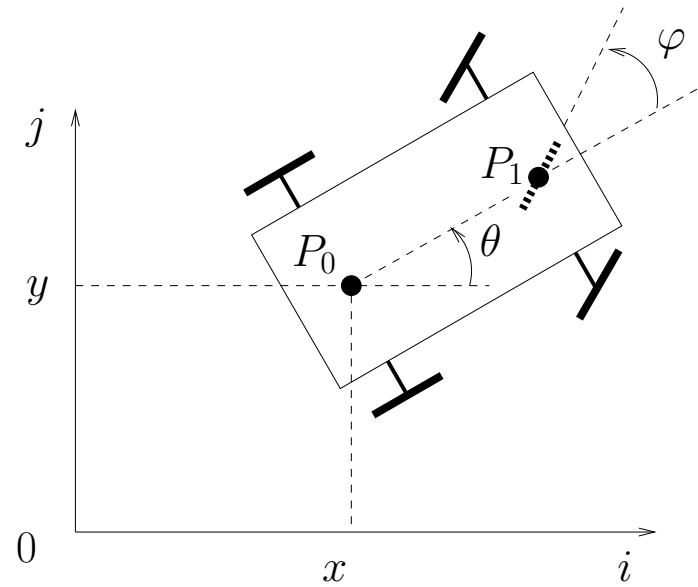
# Introduction

Robot de type unicycle:



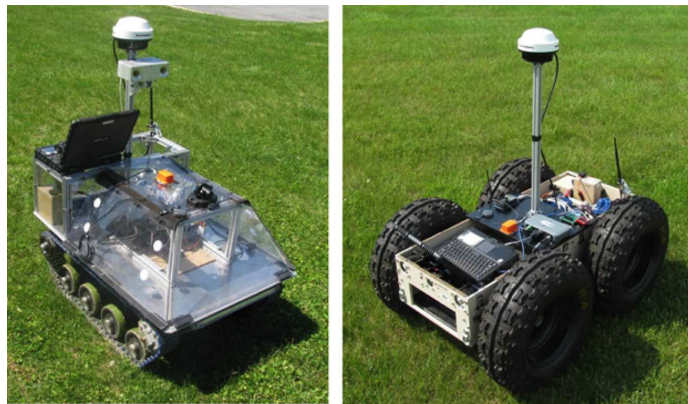
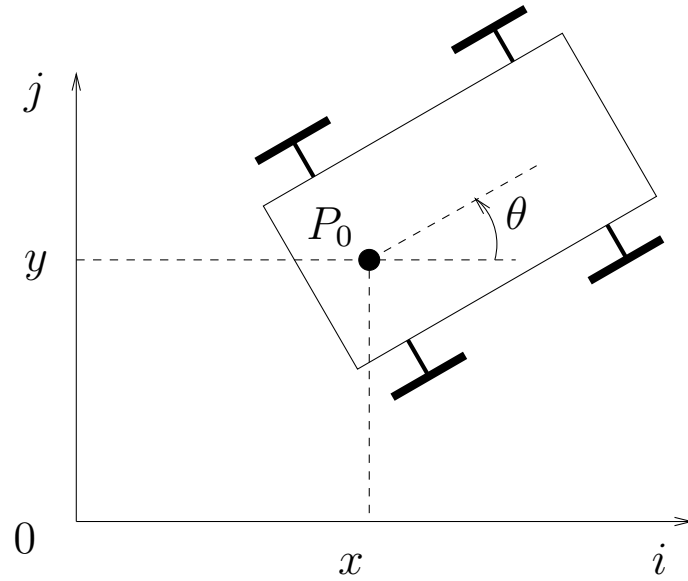
# Introduction

Robot de type voiture:



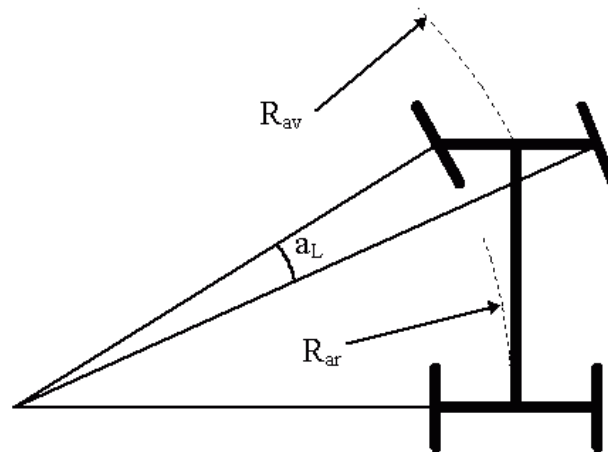
# Introduction

Robot de type "Skid-steering":



# Introduction

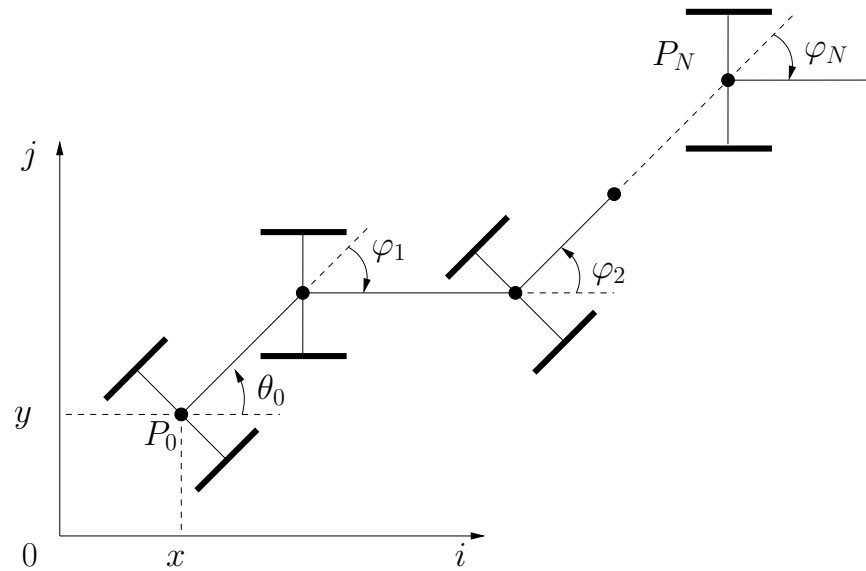
Principe fondamental: CIR (Centre Instantané de Rotation): Dans tout corps rigide en mouvement plan, il existe à chaque instant au plus un point ayant une vitesse nulle



Conséquence: Le roulement sans glissement n'est possible que sous certaines conditions géométriques sur la disposition des roues

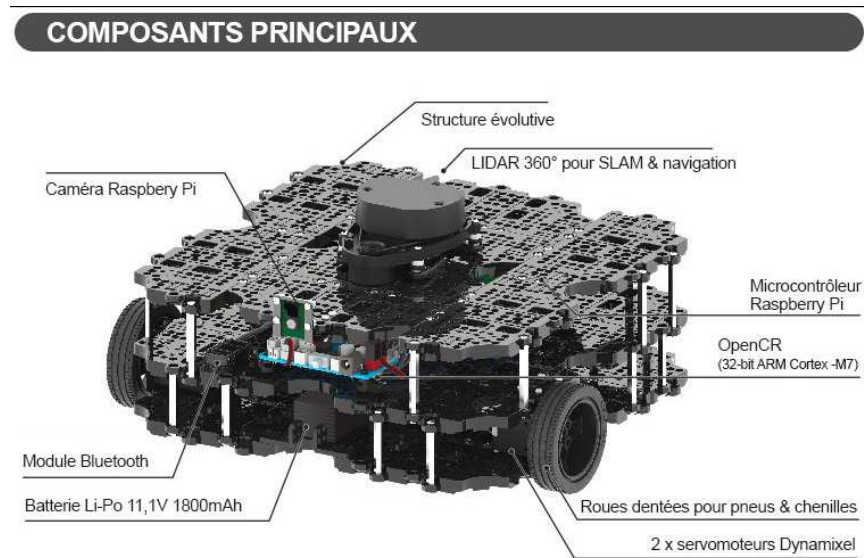
# Introduction

Système avec remorques:



# Constitution d'un robot mobile

Exemple: TurtleBot3 Waffle Pi

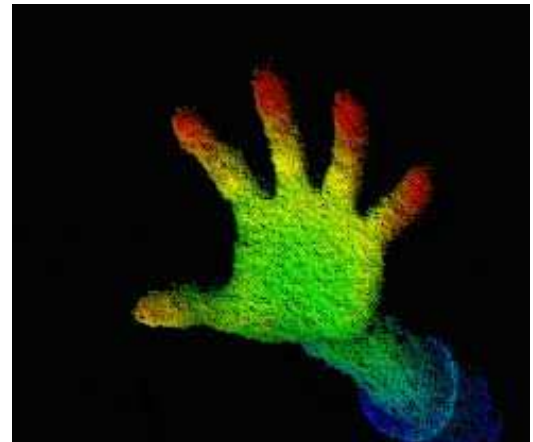


## Specs:

- Vitesse translationnelle maximale : 0,26 m/s
- Vitesse rotationnelle maximale : 1,82 rad/s (104,27°/s)
- Dimensions: 281 x 306 x 141 mm
- Charge maximale: 30 kg
- Poids (incluant batterie): 1.8 kg
- Autonomie:  $\approx 2h$

# Constitution d'un robot mobile

Composants complémentaires:



- Codeurs optiques
- Capteurs
  - Ultrasons
  - Lasers, Cameras, etc



# Introduction

A quoi va t-on s'intéresser?

- Modélisation
- Synthèse de lois de commande

# Modélisation

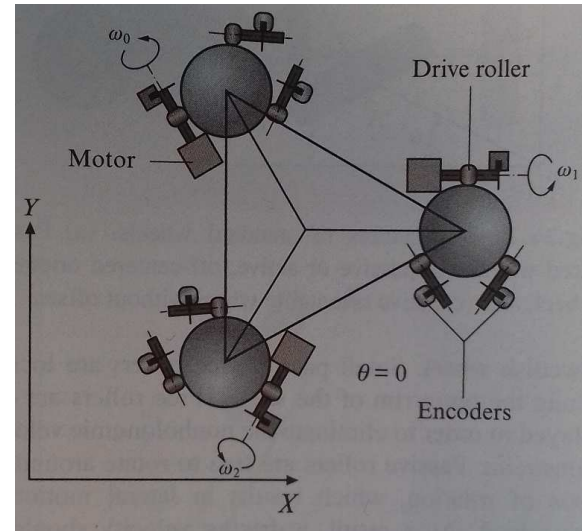
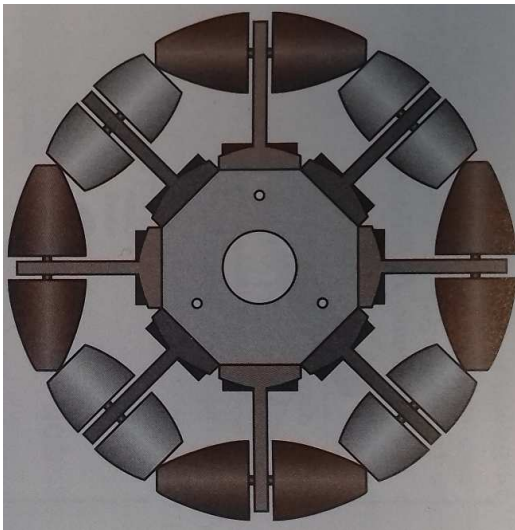
Principaux types de roues: On distingue deux grandes classes de roues:

- **Roues conventionnelles:**
  - Deux degrés de liberté instantanés dans le plan: translation dans le plan de la roue + rotation autour d'un axe vertical passant par le centre de la roue
  - Simples de conception, et donc très utilisées
  - Mais conduisent à une contrainte cinématique
- **Roues omnidirectionnelles:** (Images issues de "Handbook of robotics", Springer Verlag, 2016)
  - Deux familles principales: Roues Suédoises, Roues sphériques
  - Pas de contrainte cinématique
  - Mais conception plus complexe, et moindre robustesse

# Modélisation

## Roues omnidirectionnelles:

- Roues Suédoises: similaire à roue classique, avec des pièces mobiles sur la circonférence de la roue tournant librement (passivement) pour permettre un mouvement transverse.
- Roues sphériques: un roulement actif et deux roulement passifs assurent stabilité et actionnement de la roue.

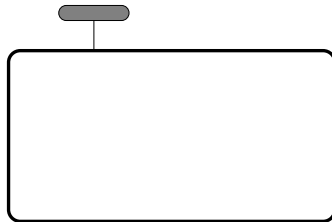


(Images issues de "Handbook of robotics", Springer Verlag, 2016)

# Modélisation

**Roues conventionnelles:** On peut distinguer trois principaux types de liaisons:

- L'axe de rotation interne de la roue est fixe par rapport au châssis (ex: roues arrières d'une voiture). On parle alors de **roue fixe**.
- L'axe de rotation interne de la roue est mobile par rapport au châssis, mais le centre de la roue est fixe par rapport au châssis (ex: roues avant d'une voiture). On parle alors de **roue orientable**.
- L'axe de rotation interne de la roue est mobile par rapport au châssis, et le centre de la roue est mobile par rapport au châssis (ex: roue folle d'un chariot). On parle alors de **roue orientable décentrée**.



Roue fixe



Roue orientable



Roue orientable décentree

# Modélisation

## Roues conventionnelles:

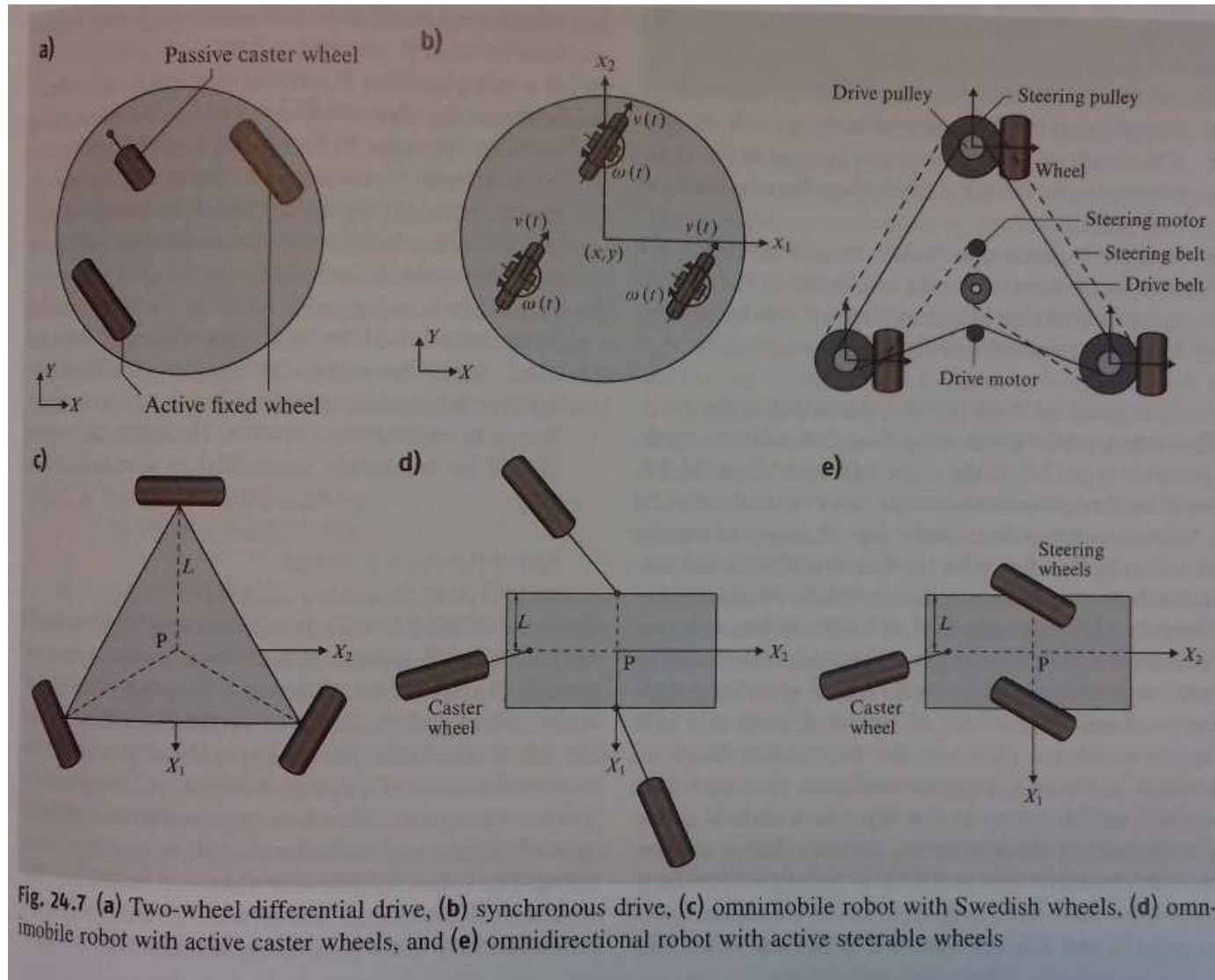


### Actionnement:

- Roue fixe: au maximum un seul degré d'actionnement: angle de rotation interne
- Roue orientable: deux degrés d'actionnement possibles pour le contrôle de l'orientation de la roue et de la rotation interne. Le premier est obligatoire, le second facultatif
- Roue orientable décentrée: deux degrés d'actionnement possibles pour le contrôle de l'orientation de la roue et de la rotation interne. Les deux sont facultatifs (comme illustré par la roue folle).

# Modélisation

Exemples de robots à trois roues:



(Images issues de "Handbook of robotics", Springer Verlag, 2016)

# Modélisation

## Exemples de robots à trois roues:

- a) Robot unicycle classique:
  - Deux roues fixes à l'arrière contrôlés indépendamment;
  - Une roue orientable décentré passive à l'avant (roue folle);
  - Simple, mais ne peut se déplacer instantanément dans toutes les directions, et la roue folle à l'avant est source d'instabilité.
- b) Robot à entraînement synchrone:
  - Trois roues orientables (centrées ou pas);
  - L'orientation des roues et leur vitesse de rotation interne sont synchronisées, généralement par un système de courroies;
  - Permet des mouvement de la base en position dans toutes les directions, mais pas en orientation, et architecture d'actionnement complexe.

# Modélisation

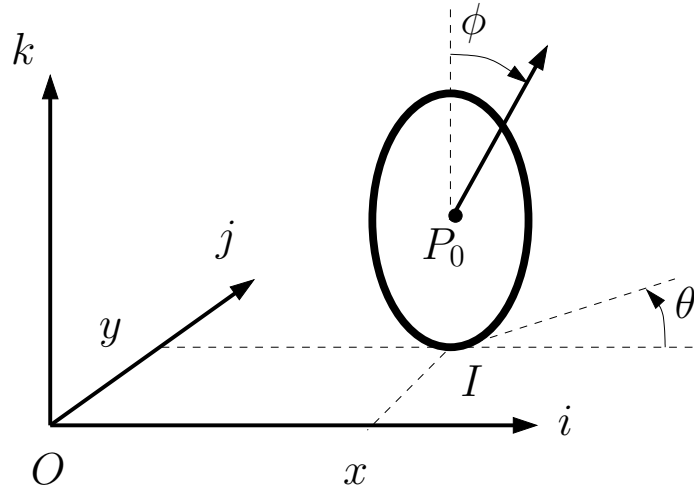
## Exemples de robots à trois roues:

- c) Robot omnidirectionnel à roues suédoises:
  - Trois roues suédoises contrôlées indépendamment;
  - Permet des mouvement de la base dans toutes les directions en position, et aussi en orientation, mais les roues suédoises sont moins robustes que des roues conventionnelles.
- d) Robot omnidirectionnel avec roues orientables décentrées
  - Trois roues orientables décentrées, dont deux au moins sont actives;
  - Permet des mouvements de la base dans toutes les directions en position, et aussi en orientation, mais peut conduire à des mouvements brusques des roues, et nécessite un système de transmission entre le moteur et l'axe des roues actionnées.
- e) Robot omnidirectionnel avec roues orientables centrées
  - Au moins deux roues orientables centrées et actives;
  - Permet des mouvements de la base dans toutes les directions en position, et aussi en orientation, mais reste soumis à des contraintes cinématiques;
  - Mêmes limitations que pour le cas précédent.



# Modélisation cinématique

L'hypothèse de roulement sans glissement:



$$\frac{d}{dt}\overrightarrow{OI} = 0 \implies \begin{cases} \dot{x} = r\dot{\phi} \cos \theta \\ \dot{y} = r\dot{\phi} \sin \theta \end{cases}$$

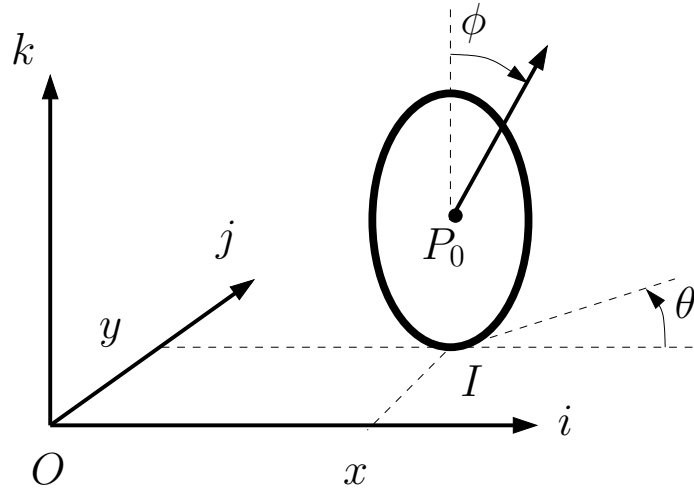
Ces deux équations peuvent aussi être écrites:

$$\begin{cases} \dot{x} \cos \theta + \dot{y} \sin \theta = r\dot{\phi} \\ -\dot{x} \sin \theta + \dot{y} \cos \theta = 0 \end{cases}$$

La première des deux équations ci-dessus est parfois appelée **condition de roulement pur**, et la seconde **condition de non-glissement**.

# Modélisation cinématique

L'hypothèse de roulement sans glissement:



$$\frac{d}{dt}\overrightarrow{OI} = 0 \implies \begin{cases} \dot{x} = r\dot{\phi} \cos \theta \\ \dot{y} = r\dot{\phi} \sin \theta \end{cases}$$

Enfin, les équations précédentes peuvent aussi être écrites sous la forme d'un système de commande:

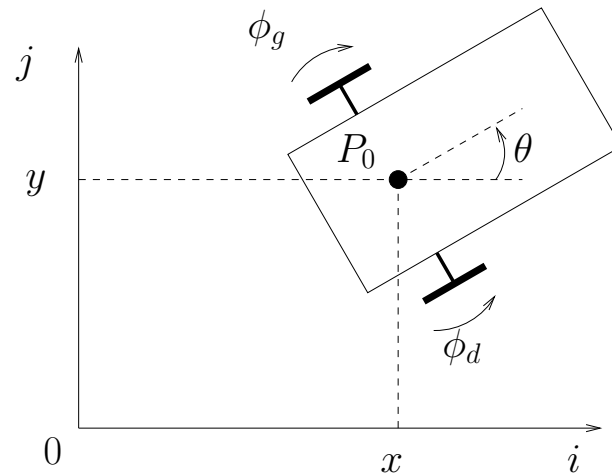
$$\begin{cases} \dot{x} &= u_1 \cos \theta \\ \dot{y} &= u_1 \sin \theta \\ \dot{\theta} &= u_2 \end{cases} \iff \dot{q} = u_1 X_1(q) + u_2 X_2(q)$$

avec  $u_1 = r\dot{\phi}$ ,  $u_2 = \dot{\theta}$ ,  $q = (x, y, \theta)'$ . Ceci est le **modèle cinématique**, et  $X_1, X_2$  sont les **champs de vecteurs de commande**.

# Modélisation cinématique

$$\begin{cases} \dot{x} &= u_1 \cos \theta \\ \dot{y} &= u_1 \sin \theta \\ \dot{\theta} &= u_2 \end{cases}$$

Ce modèle est aussi le modèle cinématique du robot de type **Unicycle**:



avec

$$\begin{pmatrix} u_1 \\ u_2 \end{pmatrix} = \begin{pmatrix} \frac{r}{2} & \frac{r}{2} \\ -\frac{r}{2R} & \frac{r}{2R} \end{pmatrix} \begin{pmatrix} \dot{\phi}_g \\ \dot{\phi}_d \end{pmatrix}$$

et  $r$ : le rayon des roues,  $2R$  la distance entre ces roues.

# Modélisation cinématique

Méthode générale:

- On définit le vecteur de configuration du robot  $\bar{q} \in \mathbb{R}^{\bar{n}}$
- On écrit les contraintes cinématiques:

$$\bar{a}_i(\bar{q})^T \dot{\bar{q}} = 0, \quad i = 1, \dots, p$$

qui peuvent aussi s'écrire sous forme matricielle

$$\bar{A}(q)^T \dot{\bar{q}} = 0$$

avec

$$\bar{A}(\bar{q}) = (\bar{a}_1(\bar{q}) \ \bar{a}_2(\bar{q}) \ \dots \ \bar{a}_p(\bar{q}))$$

- On écrit le système de contraintes sous la forme d'un modèle cinématique

$$\dot{\bar{q}} = \sum_{i=1}^{\bar{n}} u_i \bar{X}_i(\bar{q})$$

i.e. les vecteurs  $\bar{X}_i(\bar{q})$  engendrent le noyau de la matrice  $\bar{A}(q)^T$ .

# Modélisation cinématique

## Méthode générale:

- On supprime, s'il en existe, les **variables intégrables**, i.e., des constantes du mouvement (voir prochain slide):

$$a_i(q)^T \dot{q} = 0, \quad i = 1, \dots, p \quad \dot{q} = \sum_{i=1}^{\bar{n}-p} u_i X_i(q), \quad q \in \mathbb{R}^n, n \leq \bar{n}$$

## Comment vérifier s'il existe des variables intégrables?

- **Crochet de Lie** entre deux champs de vecteurs  $\bar{Y}_1, \bar{Y}_2$ :

$$[\bar{Y}_1, \bar{Y}_2](\bar{q}) = \frac{\partial \bar{Y}_2}{\partial \bar{q}}(q) \bar{Y}_1(\bar{q}) - \frac{\partial \bar{Y}_1}{\partial \bar{q}}(q) \bar{Y}_2(\bar{q})$$

- **Algèbre de Lie** engendrée par  $\bar{X}_1, \dots, \bar{X}_m(\bar{q})$ :

$$\mathcal{L} = \{ \bar{X}_i, [\bar{X}_i, \bar{X}_j], [\bar{X}_i, [\bar{X}_j, \bar{X}_k]], \dots \}$$

- Si autour de  $\bar{q}_0$ ,  $\dim \mathcal{L}(\bar{q})$  est constante, alors le nombre de contraintes intégrables autour de  $q_0$  est égal à  $\bar{n} - \dim \mathcal{L}(\bar{q}_0)$ .
- Ce résultat est connu sous le nom de **Théorème de Frobenius**

# Modélisation cinématique

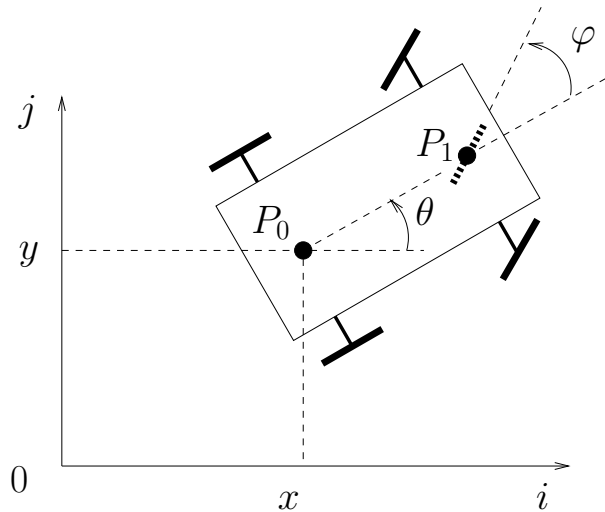
**Application:** Pour le véhicule de type unicycle,

1. Proposer un vecteur de configuration  $\bar{q}$ ,
2. Ecrire les contraintes cinématiques de roulement sans glissement pour chaque roue,
3. Vérifier que sur ces 4 contraintes, 3 seulement sont indépendantes et en déduire une expression des champs  $X_1, X_2$  de commande,
4. Appliquer le théorème de Frobenius pour en déduire qu'il existe une contrainte intégrable,
5. Vérifier à partir du modèle obtenu la relation de la Page 20 exprimant  $u_1, u_2$  en fonction des vitesses de rotation interne des roues.

# Modélisation cinématique

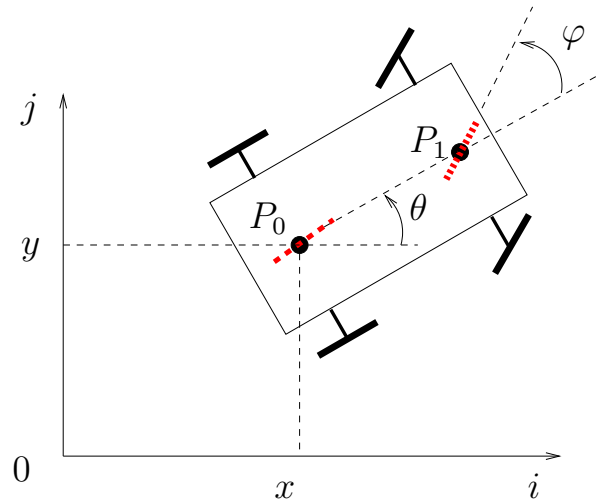
Méthode simplifiée sous hypothèse de compatibilité des contraintes:

- Pour des véhicules à roues conventionnelles, constitués de trains actifs (i.e., actionnés) ou passifs, à deux roues, fixes ou orientables,
- On peut souvent obtenir le modèle cinématique de façon plus simple, à partir du concept de **roue équivalente**,
- Cela suppose que le véhicule soit conçu de façon à ce que le CIR soit bien défini.
- **Exemple: application au véhicule de type voiture**



# Modélisation cinématique

On réduit chaque train à une roue équivalente (en rouge sur le dessin), et on applique les contraintes de roulement sans glissement à ces roues équivalentes



Roue arrière:

$$\begin{pmatrix} \dot{x} \\ \dot{y} \end{pmatrix} = r \dot{\varphi}_b \begin{pmatrix} \cos \theta \\ \sin \theta \end{pmatrix}$$

avec  $r$  le rayon de la roue et  $\varphi_b$  l'angle de rotation interne de la roue.



# Modélisation cinématique

Roue avant:

$$\begin{pmatrix} \dot{x}_f \\ \dot{y}_f \end{pmatrix} = r\dot{\varphi}_f \begin{pmatrix} \cos(\theta + \varphi) \\ \sin(\theta + \varphi) \end{pmatrix}$$

avec  $(x_f, y_f)$  les coordonnées du centre de la roue et  $\varphi_f$  l'angle de rotation interne de la roue. On a

$$\begin{pmatrix} x_f \\ y_f \end{pmatrix} = \begin{pmatrix} x \\ y \end{pmatrix} + L \begin{pmatrix} \cos \theta \\ \sin \theta \end{pmatrix}$$

et donc les contraintes cinématiques s'écrivent:

$$\begin{pmatrix} \dot{x} \\ \dot{y} \end{pmatrix} + L\dot{\theta} \begin{pmatrix} -\sin \theta \\ \cos \theta \end{pmatrix} = r\dot{\varphi}_f \begin{pmatrix} \cos(\theta + \varphi) \\ \sin(\theta + \varphi) \end{pmatrix}$$

En multipliant cette relation par  $R(-\theta)$  ou  $R(\xi)$  désigne la matrice de rotation dans le plan d'angle  $\xi$ , on obtient:

$$r\dot{\varphi}_b = r\dot{\varphi}_f \cos \varphi, \quad L\dot{\theta} = r\dot{\varphi}_f \sin \varphi$$

# Modélisation cinématique

En rassemblant les différentes équation, on obtient les modèles suivants

Modèle propulsion arrière: Commandes  $u_1 = r\dot{\varphi}_b, u_2 = \dot{\varphi}$ ,

$$\begin{cases} \dot{x} &= u_1 \cos \theta \\ \dot{y} &= u_1 \sin \theta \\ \dot{\theta} &= \frac{u_1}{L} \tan \varphi \\ \dot{\varphi} &= u_2 \end{cases}$$

Modèle traction avant: Commandes  $u_1 = r\dot{\varphi}_f, u_2 = \dot{\varphi}$ ,

$$\begin{cases} \dot{x} &= u_1 \cos \theta \cos \varphi \\ \dot{y} &= u_1 \sin \theta \cos \varphi \\ \dot{\theta} &= \frac{u_1}{L} \sin \varphi \\ \dot{\varphi} &= u_2 \end{cases}$$

# Modélisation dynamique

En plus du modèle cinématique

$$\dot{q} = \sum_{i=1}^m u_i X_i(q) = X(q)u$$

on peut obtenir, à partir des équations de Lagrange, le **modèle dynamique**

$$J(q)\dot{u} + N(q, u) + X(q)^T G(q) = F_{act} + F_{ext}$$

avec

- $J$  : Matrice d'inertie,
- $N$  : Forces de Coriolis,
- $G$  : Termes de gravité,
- $F_{act}$  : Forces d'actionnement,
- $F_{ext}$  : Autres forces externes (frottement, etc)

On suppose ici que les forces d'actionnement et externes sont **compatibles** avec les contraintes cinématiques

# Modélisation dynamique

## Dérivation des équations dynamiques:

- On part des équations de Lagrange classiques:

$$M(q)\ddot{q} + C(q, \dot{q})\dot{q} + G(q) = \Gamma + \sum_i \lambda_i a_i(q) = \Gamma + A(q)\lambda$$

- On remplace  $\dot{q}$  par son expression  $\dot{q} = X(q)u$  et  $\ddot{q} = \dot{X}(q)u + X(q)\dot{u}$ :

$$M(q)X(q)\dot{u} + M(q)\dot{X}(q)u + C(q, X(q)u)X(q)u + G(q) = \Gamma + A(q)\lambda$$

- On multiplie la relation de la dynamique par  $X(q)^T$  pour faire disparaître les forces de contact (inconnues)

$$X(q)^T M(q)X(q)\dot{u} + X(q)^T M(q)\dot{X}(q)u + \dots$$

$$X(q)^T C(q, X(q)u)X(q)u + X(q)^T G(q) = X(q)^T \Gamma \quad (1)$$

# Modélisation dynamique

## Modélisation des efforts d'interaction

La modélisation des efforts roues/sol peut être importante pour:

- Dimensionner les actionneurs
- Simuler le comportement du robot de façon réaliste
- Evaluer des lois de commande de façon réaliste

Cette modélisation est difficile, notamment lorsque le robot évolue sur des terrains naturels. On peut distinguer plusieurs modèles:

- Roues rigides sur terrain rigide
- Roues rigides sur terrain déformable
- Roues (pneus) déformables sur terrain déformable
- Roues (pneus) déformables sur terrain rigide

# Modélisation dynamique

Simplifications pratiques:

Dans certains cas on est amené à approcher la dynamique par un modèle très simple:

$$\dot{u} = -k(u - u^c) \quad (k \gg 0)$$

avec  $u^c$  une consigne de vitesse envoyée aux actionneurs. Ceci est légitime si

- Les frottements sont négligeables ,
- Il y a un actionneur par degré de liberté,
- On ne peut envoyer au contrôleur des moteurs que des consignes de vitesse,
- Les actionneurs sont suffisamment puissants pour dominer les forces de Coriolis, de gravité, et autres forces externes ( $k$  peut être choisi grand)

Sinon, un modèle dynamique complet (y compris des actionneurs) doit être considéré.